

成 形 車 刀

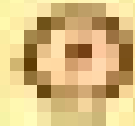
胡永生編著



机械工业出版社

成 集 中 用

.....



.....

成 形 車 刀

胡永生編著



机 械 工 业 出 版 社

1959

出版者的話

成形車刀在机械制造业中应用得很广泛，尤其在大量生产和大批生产中。使用这种車刀加工成形工件时，不仅生产率高、准确度有保证，而且操作简单，易于使工序达到自动化。虽然成形車刀的制造较为复杂、成本高，但刀具的使用寿命很长，此外还有上述的优点，故而还是值得推广的一种先进刀具。

本書叙述了各种成形車刀的构造、使用范围、设计原理及其修正计算和公差等。其内容还丰富，论证较深刻，计算原则均有正确的推导和依据。如第一章之「成形車刀加工之双曲綫誤差」及第四章之「成形車刀之修正計算」，均分析得較詳尽，有参考价值。

本書可作为高等工业学校机械制造或仪表制造专业的教学参考书，亦可供技术人员参考。

NO. 2679

1959年3月第一版

1959年3月第一版第一次印刷

787×1092 1/16 字数 206 千字 印张 9 1/2 0,001—7,550 册

机械工业出版社(北京阜成門外百万庄)出版

机械工业出版社印刷厂印刷 新华书店發行

北京市書刊出版业营业許可証出字第 008 号

定价(10) 1.25 元

目 次

前言.....	3
第一章 成形車刀的一般原理.....	5
第一节 成形車刀的用途和种类.....	5
第二节 成形車刀切削部分的角度.....	11
第三节 成形車刀加工的双曲綫誤差.....	22
第二章 各种成形車刀的使用范围.....	32
第一节 成形車刀的设计选择步骤.....	32
第二节 径向成形車刀的工作原理及使用范围.....	32
第三节 切线成形車刀的工作原理及使用范围.....	34
第四节 圆体車刀与棱体車刀的选择原则.....	36
第五节 各种不同结构及安装的成形車刀的使用范围.....	36
第三章 成形車刀的构造.....	41
第一节 成形車刀的材料.....	41
第二节 圆体成形車刀的构造.....	41
第三节 棱体成形車刀的构造.....	47
第四章 成形車刀的修正计算.....	49
第一节 修正计算的原因.....	49
第二节 修正计算前的准备.....	51
第三节 修正计算的要求和方法.....	53
第四节 普通外圆成形車刀.....	55
第五节 有 λ 角成形車刀.....	58
第六节 水平斜装 τ 角的成形車刀.....	64
第七节 水平斜装并有 λ 角的成形車刀.....	69
第八节 垂直面内斜装 σ 角的成形車刀.....	73
第九节 螺旋后隙面成形車刀.....	76
第十节 普通内孔加工成形車刀.....	78
第十一节 有 λ 角内孔成形車刀.....	80
第十二节 螺旋后隙面内孔成形車刀.....	83
第十三节 棱体切线成形車刀.....	84
第十四节 圆体切线成形車刀.....	87
第十五节 特殊切线成形車刀.....	89
第十六节 铣刀和插刀.....	92
第十七节 圆弧形工件和螺纹.....	93
第十八节 样板设计.....	94
第十九节 设计例题.....	95
附 录 各种刀具形状的求法.....	102
第五章 成形車刀的制造.....	108
第一节 圆体車刀端面夹固齿的加工方法.....	108
第二节 棱体車刀鵝尾夹固部分加工方法.....	109
第三节 热处理前成形表面的切削加工.....	110
第四节 热处理后成形表面的磨削加工.....	112
第五节 硬质合金成形車刀表面的加工.....	121
第六节 刀具的刃磨.....	122
第七节 成形車刀的检验.....	126
第八节 成形車刀的工艺规程.....	128
第六章 成形車刀的使用.....	133
第一节 成形車刀的夹固.....	133
第二节 成形車削的切削用量.....	139
第七章 成形車刀的公差.....	143
第一节 决定成形車刀公差数值的一些根据.....	143
第二节 成形車刀公差数值的决定法.....	146
结 語	151
参考文献	152

前　　言

金屬切削加工發展之主要方向是提高加工質量（準確度及表面光潔度），提高勞動生產率，使加工過程自動化。要達到這些目的，須從機床、刀具、夾具、加工方法等方面來着手。在機械製造工業中常起先鋒作用的金屬切削刀具方面，就應設計生產率高的、準確度好的、易于使加工過程自動化的刀具，而成形車刀就是其中之一。

如用普通車刀來加工成形工件時，主要依靠工人的技術，故是一項艱難的工作。但在採用成形車刀以後，就大大地改進了這種情況。成形工件形狀的準確性，可以靠刀具的形狀來保證，很易使工件達到互換；同時成形車刀的切削運動很簡單，易使機床自動完成，這就有力地推進了工序的自動化，提高了勞動生產率。在大量生產或大批生產的工業部門如汽車和拖拉機工業、滾珠軸承工業、儀器製造工業以及國防工業中，成形車刀都得到廣泛的採用。

隨著我國大規模經濟建設的發展，大量的新型的機械製造工廠在不斷建立，因此系統地介紹成形車刀設計、製造、使用等方面的資料，就非常需要。

本書是著者在哈爾濱工業大學時之研究生結業設計，是在科學指導人蘇聯專家、斯大林獎金獲得者、科學技術碩士、副教授Л. А. 羅日杰斯文斯基同志指導之下完成的。在進行設計時整理了國內外主要是蘇聯的書籍及雜志上不同時期所發表的有關成形車刀設計、製造及使用的文獻，並參考了一些我國工廠的經驗。內容大部分是根據現有的材料加以整理，其中某些部分作了一些修改和補充，如成形車刀靜止時沿刀刃角度的變化、各類成形車刀的選擇方法、成形車刀的修正計算法（如垂直面內斜裝φ角和特殊切線成形車刀的計算法）等。

本書曾承哈爾濱工業大學編譯科於1955年11月出版，由於圖紙附于最後，閱讀不便，故在本版內作了更正，內容上亦略經修改。因限於著者水平，本書一定有很多缺點，願誠懇接受各方面指正。

胡永生 1958年11月于北京

第一章 成形車刀的一般原理

第一节 成形車刀的用途和种类

成形車刀是一种刀刃形状由工件形状决定的車刀，用在普通車床、六角車床、半自動車床以及自動車床上加工成形的工件（旋轉体），也可用在刨床插床上加工成形面。成形車刀一般采用于大量生产和大批生产的工厂，成为加工成形工件最基本的刀具。

用普通外圓車刀来加工成形工件时，主要靠工人的技术，生产率很低，同时还不能保証工件形状的一致性（互換性）。用成形車刀来加工时，工件的形状就由刀具来保証，不必靠工人的手艺，不但減輕了工人的劳动，并且提高了工件的准确度。由于工作时的切削运动很簡單，故能促進加工的自动化，大大地提高了劳动生产率。

成形車刀是設計、制造都比較复杂的刀具，成本較貴。但一把成形車刀能刃磨的次数很多，使用寿命很長，因此这一缺点并不影响它的广泛采用价值。

成形車刀是多刃刀具之一。很長的切削刃同时切削，能保証很高的生产率及准确度，因此它是近代先进刀具之一。

为了易于准确地了解成形車刀的設計构造及各种概念，必須先了解各种基本定义。以下仅对一些有关的定义作一簡略的介紹，如須要更准确、全面的了解这些定义，可参考一般切削原理書籍。

1. 前傾面——与正被切下的金属層起作用的表面，也就是切屑流出去时与刀具上接触的表面。成形車刀的前傾面为簡單的平面。

2. 后隙面——刀具上和工件加工表面互相面对的表面，成形車刀后隙面的性質有平面、曲面、旋轉体表面以及螺旋形表面等。

3. 主切削刃——前傾面与后隙面之交綫，为一成形曲綫。

4. 切削平面——按苏联通用标准 OCT 6898 規定 [具有曲綫形状切削刃的成形車刀，切削刃与加工表面相接触，其接触点处工件的切綫沿着切削刃移动所形成的曲面称为切削平面。] 切削刃上各点之切綫有的垂直于水平綫，有的倾斜一个角度。

5. 基面——通过主切削刃上某一点，而又垂直于切削平面的平面，即为刀具上該点的基面。

6. 主截面——垂直于主切削刃在基面上投影的平面。

7. 前角 γ ——是前傾面与基面之夹角（在垂直刀具基准綫^②的面內測量）。成形刀刃上各点前角是不相同的（指在主截面內測量）。

② 刀具基准线对圓体車刀來說就是軸心綫（或中心綫）。棱体車刀的基准則是梯尾形夾固部分的平面，其基准綫可理解为此平面与基面之交綫。

8. 后角 γ ——后隙面与切削平面間的夹角。在主截面内测量时，各点刀刃上之后角数值是不相同的。

9. 楔角 β ——后隙面与前倾面間之夹角， $\beta = 90^\circ - (\alpha + \gamma)$ 。

10. 导角 φ ——主切削刃与走刀方向在基面上投影之夹角。

11. 刀倾角 λ ——基面与前倾面之夹角（在平行于刀具基准綫的基面之垂直面內測量）。

近代机械制造工业中常用的成形車刀按外形來說有圓体的及棱体的二类，平体成形車刀及鏟刀为最簡單的成形車刀，也用得很广泛。

圓体和棱体的成形車刀又可分为徑向进刀切削及切綫方向进刀切削二类，簡称徑向成形車刀及切綫成形車刀。此外，还有展成原理的成形車刀，则比較特殊，用得较少。

以上各类成形車刀还可分成好几种，茲将其名称及特征說明如下。

(一) 徑向圓体和棱体成形車刀，由于使用条件不同，又可分为以下几种不同的结构及安装方法：

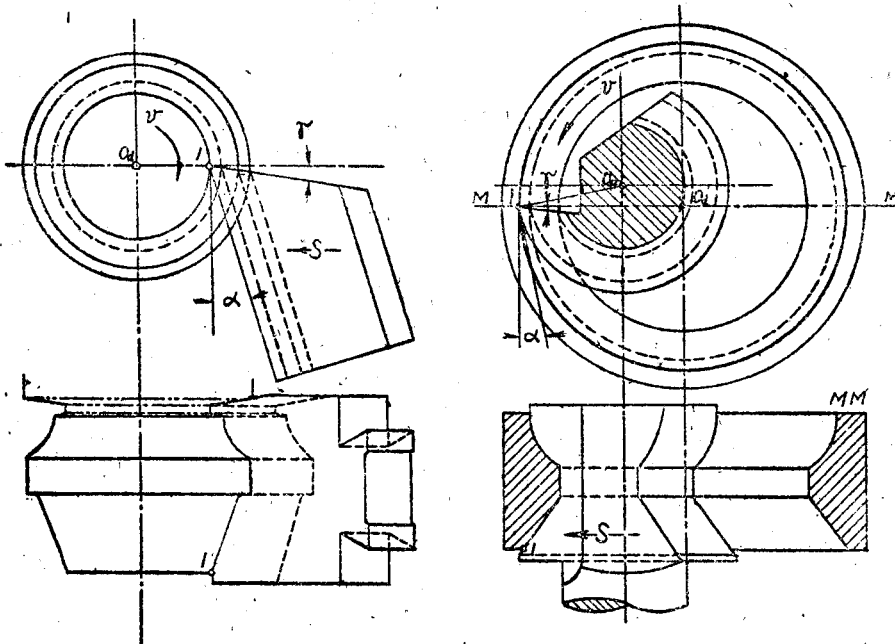


圖1 普通成形車刀。

1. 普通成形車刀，見圖1。刀具的前傾面与通过工件中心綫之水平面成 γ 角，在端面圖●中只可看到有一点在工件的中心高度，实际上这一点是代表成形車刀上位于工件中心高度的各点的投影。

2. 有 λ 角成形車刀，見圖2。刀具的前傾面与水平面倾斜相交，故在刃磨时須調整二个角度 γ ●与 λ ，即在垂直于刀具基准綫方向傾斜 γ 角，在平行于刀具基准綫方向傾斜 λ 角。刀具

● 端面圖是指垂直工件軸心綫之平面內的視圖，平面圖則指平行于工件軸心綫的平面內的視圖。

● 实际应为 $\gamma + \alpha$ ，見下一节。

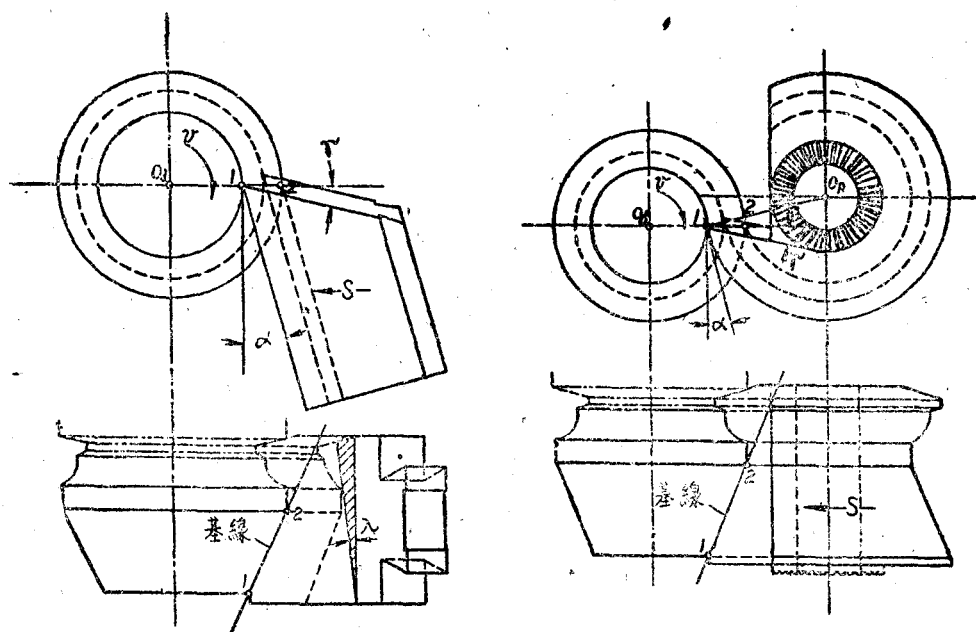


圖 2 有 λ 角成形車刀。

有 λ 角之原因是要使刀刃上加工工件圓錐體之直線部分位于工件之中心高度。通过此直綫刀刃部分可作一基綫，基綫上各點皆位于工件之中心高度，故此类刀具亦称作基綫位于工件中心高度上的成形車刀。但这种刀具在切削时刀刃上之其他部分有的則比工件中心高，有的就比中心低。

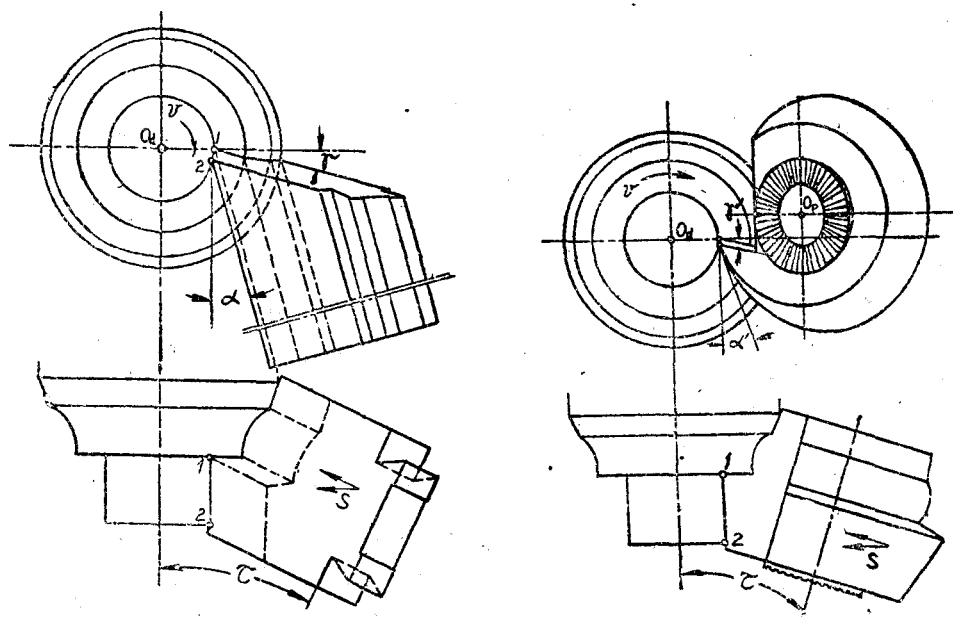


圖 3 斜裝 τ 角成形車刀。

3. 斜装的成形車刀。棱体車刀的夹固基准面或圆体車刀的軸心綫可以平行于工件的軸心綫，如圖 1 和圖 2，也可斜装一个 τ 角如圖 3 (τ 角在水平面內測量)。有时圆体車刀之軸心綫与工件之軸心綫可互相垂直（指在平面內之投影）見圖 4。除此之外，在垂直面內也可轉动一个 σ 角，使刀具之侧面傾斜，見圖 5。

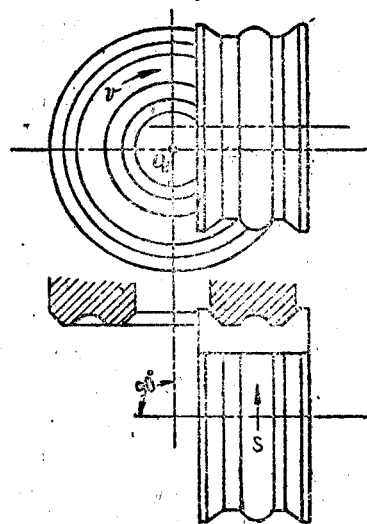


圖 4 端面成形車刀。

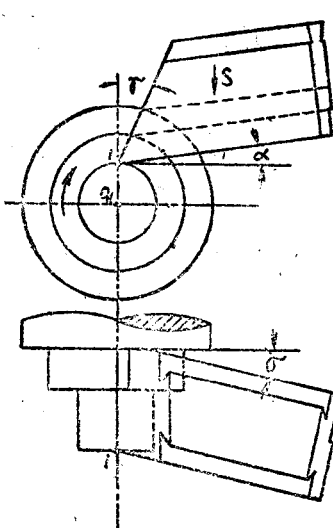


圖 5 在垂直面內斜裝 σ 角的成形車刀。

4. 螺旋后隙面成形車刀。圆体成形車刀本身成形表面的性質可以是旋轉體，即成形表面由一成形的母綫按刀具軸心綫旋轉而形成，如圖 1、2、3，但也可見螺旋形表面，如圖 6，称螺旋后隙面成形車刀。

圆体車刀可用来加工外圓或內孔（見圖 1），棱体車刀一般只能加工外圓，見以上各圖。

（二）切綫圓体和棱体成形車刀（見圖 7）：

常用者为棱体成形車刀。切綫成形車刀的外形与徑向成形車刀无很大差別，但刀具之安装与进刀方法不同。切綫成形車刀安装在机床上时，刀刃离工件之垂直中心綫有一定之距离，然后垂直此綫作直線形进刀，进刀之方向，切于成形表面，即是此类刀具名称之由来。这种刀具只能加工外圓。在工作时，刀刃在水平面上之投影一般与工件之軸心綫成 λ 角。

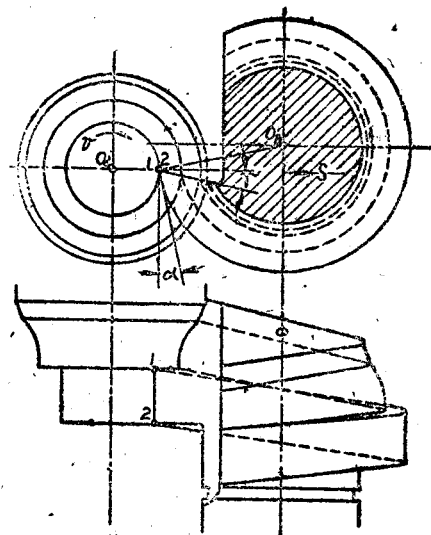


圖 6 螺旋后隙面成形車刀。

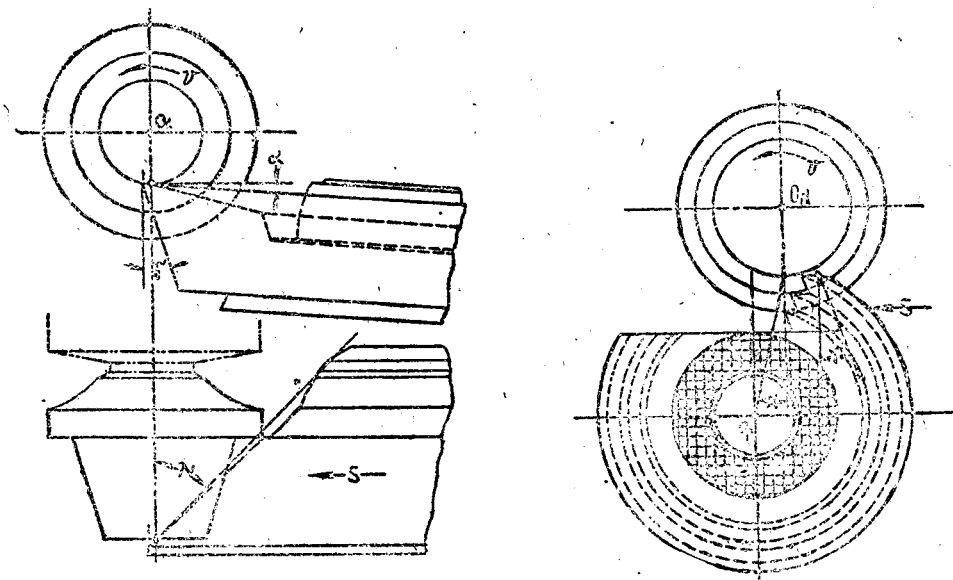


圖 7 切線方向進刀的成形車刀。

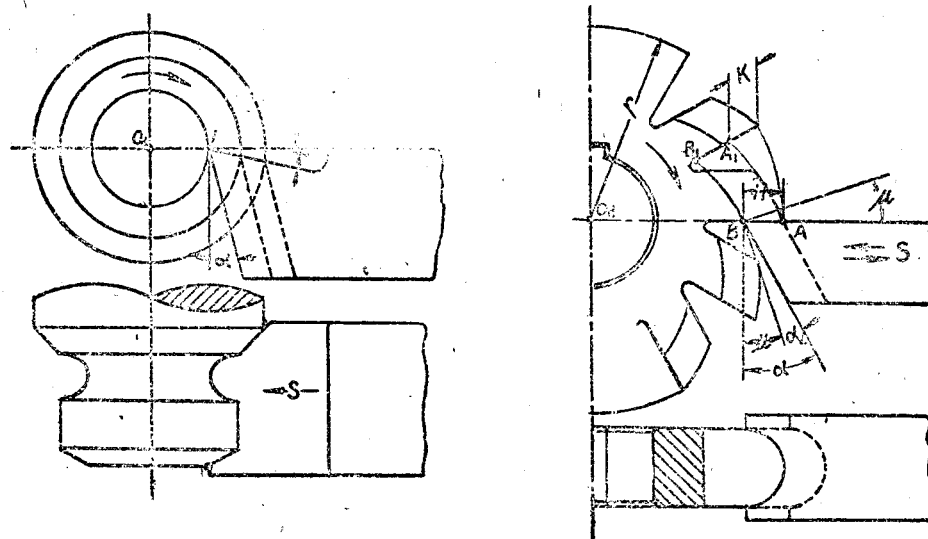


圖 8 平體成形車刀。

(三) 平體成形車刀 (圖 8):

与普通外圓車刀形状相似，只刀刃部分根据工件之形状磨成。在刀具制造工业中鏟成形銑刀，齒輪滾刀成形表面所用之鏟刀即屬之。其他如螺紋刀具也常做成本体的。

(四) 刨刀，插刀：

有圓体、棱体或平体的，加工成形直線表面，工作时的切削运动为直線，如圖 9。

(五) 展成原理的成形車刀 (圖10)：

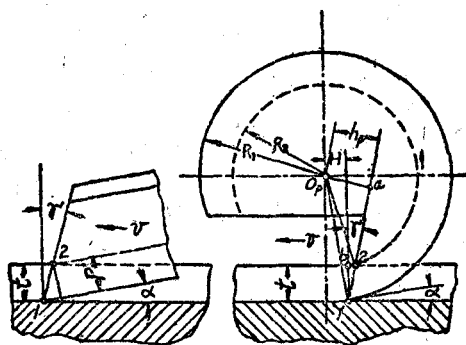


圖9 削刀、插刀。

在工作时有刀具与工件之迴轉运动，以及工件或刀具之进刀运动。工件与刀具之相对进刀运动和刀具之轉动間須具有一定之关系，这种成形車刀的刀刃为一封閉曲綫，由圓錐形前傾面和后隙面相交所形成，使刀具有 γ 角及 α 角，其外形如碗状。此类刀具由于形成成形工件之表面时为展成运动，牵涉問題較为專門，故在本書內不作詳述。此方面資料可参考 I. A. 富拉依凡立特：展成原理刀具，苏联机械工业出版社，1948 年版。

各类成形車刀还可以刀具材料、整体或鑄体来分，詳見第三章。

为了清楚起見我們將各种成形車刀，归纳成下表：

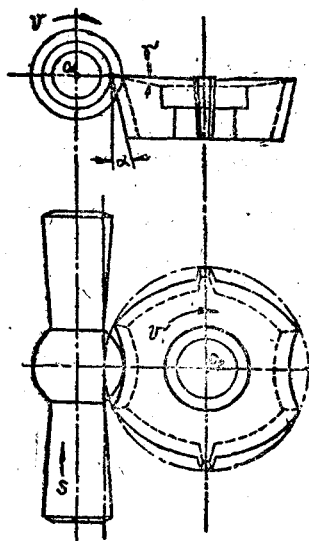
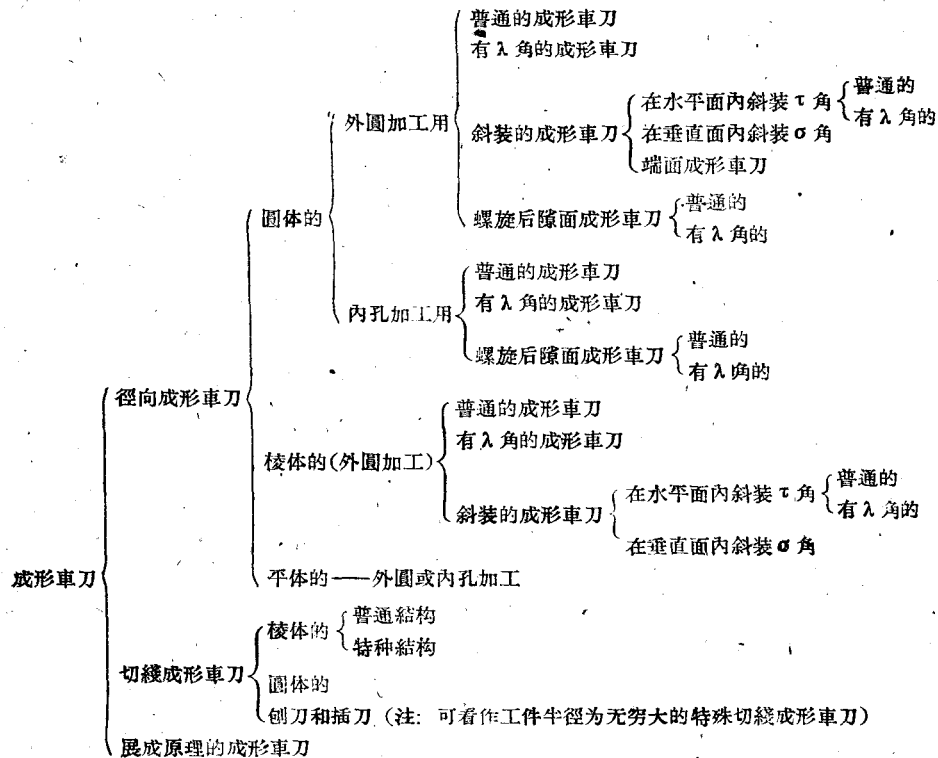


圖10 展成原理成形車刀。

为什么成形車刀在生产中会出现各种不同结构（指有 λ 角的，螺旋后隙面的等）及各种不同安装方法（指水平面内或垂直面内斜装）呢？在以下研究成形車刀的切削部分角度和双曲线誤差理論时可以找到答案。

第二节 成形車刀切削部分的角度

§ 1. 刀具前角与后角的形成

成形車刀与其他切削刀具相同，应具有合理的前角与后角，才能正常有效地工作。成形車刀的前角与后角是如何得到的呢？圖11甲表示一把未装上机床前的棱体成形車刀，刀具的前倾面与水平面倾斜成 $\alpha + \gamma$ 角，当将此刀安装到机床上时，夹固基准面与垂直面倾斜 α 角，前倾面与水平面（即切削平面之垂直面）则成 γ 角。由此可见，棱体成形車刀的前角与后角是一次刃磨出来，在安装到机床上后才形成，与普通車刀是不相同的。圓体成形車刀又是怎样呢？在刀磨时，我們將刀具前倾面磨成离刀具中心線之距离为（圖12） h_p ， h_p 之大小由以下公式决定：

$$h_p = R_1 \sin (\alpha + \gamma)$$

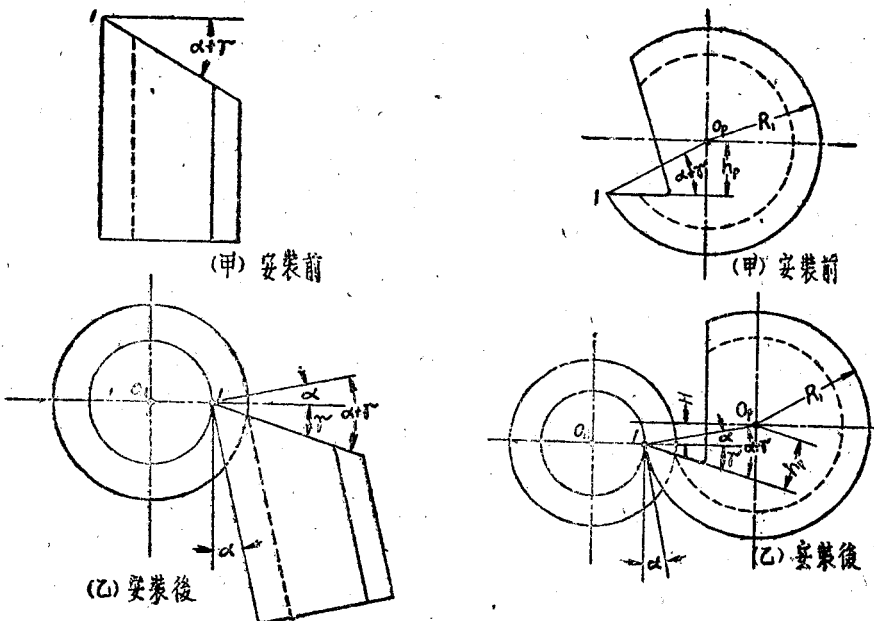


圖11 棱体車刀后角及前角的形成。

圖12 圓體車刀后角及前角的形成。

其中 R_1 为加工工件上1点刀具之半徑，圖中为外徑。

将刀具装上机床时（圖12乙），我們將刀具之中心線相对工件之中心線装高一距离 H ， H

由下式决定：

$$H = R_1 \sin \alpha$$

則刀刃上1点在工作时，具有后角为 σ ，前角为 γ 。如刀具之前角为零度时，则情况就更简单， $H = h_p$ 。

§ 2 前角与后角的合理数值

(一) 前角: 与其他刀具相同, 成形車刀的前角大小主要是根据加工材料的性质来决定的。加工脆性材料则前角要小; 加工韧性材料, 前角之数值就要大。用高速鋼材料制造的成形車刀常采用之前角数值见表 1。

表 1 根据工件材料选择前角之大小

加 工 材 料 名 称	前 角 γ°
青銅, 很硬鑄鐵	0°
很硬鋼 ($\sigma_b \geq 80$ 公斤/公厘 ²), 硬鑄鐵 ($H_B = 180 \sim 220$)	5°
硬鋼 ($\sigma_b = 60 \sim 80$ 公斤/公厘 ²) 軟鑄鐵 ($H_B = 160 \sim 180$)	10°
中硬鋼 ($\sigma_b = 50 \sim 60$ 公斤/公厘 ²)	15°
軟鋼 ($\sigma_b < 50$ 公斤/公厘 ²)	20°
鉛, 銅	25° ~ 30°

注: 用硬質合金刀具来加工鋼时, 可照表中数值减5°。

在仪器制造工业中常須加工各种有色金属之合金, 前角可按表 2 选择。

表 2 加工有色金属时成形車刀的前角数值

合金名称	牌号(苏联的)	化 学 成 分 (%)				前 角 γ°
		銅	鋅	其他元素	銻	
鉛 黃 銅	ЛС51-1	51	0.8~1.9	—	其余都是	0°
鉛 黃 銅	ЛС59-1	57~60	0.8~1.9	—	其余都是	0°~5°
錳鋅銅合金	ЛМА57-3-1	55~58.5	—	2.5~3.5錳 0.5~1.5鋅	其余都是	
黃 銅	Л62	60.5~63.5	—	—	其余都是	
鋅銅合金	ЛАН59-3-2	57~60	—	2.5~3.5鋅 2.3錳	其余都是	0°~5°
黃 銅	Л68	67~70	—	—	其余都是	10°~15°
黃 銅	Л80	78~81	—	—	其余都是	15°~20°
黃 銅	Л90	88~91	—	—	其余都是	
黃 銅	Л96	95~97	—	—	其余都是	20°~25°

(二) 后角: 根据切削原理, 刀具的耐用度最大时, 合理后角的选择, 应按以下公式选取:

$$\alpha_{opt} = \sin^{-1} \frac{C}{a K_{max}},$$

其中: α_{opt} ……合理之后角数值 (度); a_{max} ……最大切削层之厚度 (公厘);

C 与 K 为常数, 由经验求得。用硬质合金或高速钢刀具加工铜、铸铁、轻金属时 $C = 0.13$, $K = 0.3$ 。

通常成形车刀的走刀量很小 (< 0.10 公厘/转), 故 a_{max} 也就很小, 如用以上公式计算合理后角应大于 18° 。事实上, 倘使我们选用这样大的后角, 则刀刃就变得很弱。同时我们一般所称

刀具的前角及后角是指刀刃上位于工件中心高度处之角度。刀刃上其他各点比工件中心高度低者，后角还要比上者大，下面就将讨论。因此我們选用的后角就只能比合理数值小，常用的数值如下：

圓体車刀 $\alpha = 10^\circ \sim 15^\circ$;

棱体車刀 $\alpha = 12^\circ \sim 17^\circ$ 。

圓体車刀之后角比棱体車刀之后角取得小之原因，是由于同样的前角及后角，圓体車刀之刀刃比棱体車刀的刀刃弱。从圖13很容易看出，二把車刀重合画在一起时，棱体車刀在刀刃下部之金屬多，强度、剛度以及傳热等問題都比圓体車刀好。另一方面圓体車刀沿刀刃之角度变化亦較棱体車刀厉害。

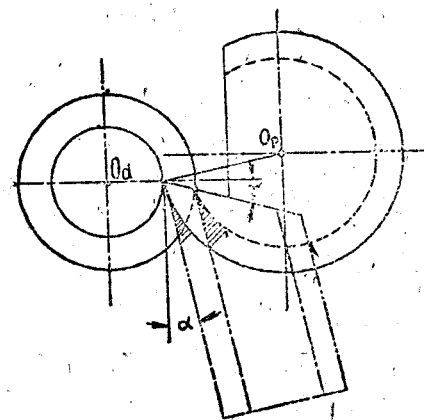


圖13 同样角度的棱体車刀与圓体車刀刀刃强度的比較。

§ 3 靜止时前角与后角沿刀刃的变化

把成形車刀当作一个靜止的几何物体看待，根据前角及后角的定义二者都应在主截面内測量，我們就可發現前角与后角在刀刃上各点是不相同的，因为后角对刀具的切削情况影响很大，故此處只研究后角之变化。

現在先看在垂直刀具軸心綫之平面內角度之变化：圖14上部之圓体車刀中，1点比刀具中心 O_p 低 $R_1 \sin \alpha_1$ ，形成該点之后角为 α_1 、前角为 γ ；2点为刀刃上任意一点，其半徑为 R_2 ，它比刀具中心低 $R_2 \sin \alpha_2$ ，故2点之后角应为 α_2 。今求 α_2 与 α_1 之关系：

$$\text{从} \triangle 12O_p, \quad \angle O_p 21 = 180^\circ - (\gamma + \alpha_2)$$

从正弦定律：

$$\frac{R_1}{\sin [180^\circ - (\gamma + \alpha_2)]} = \frac{R_2}{\sin (\alpha_1 + \gamma)}.$$

$$\text{故 } \sin(\alpha_2 + \gamma) = \frac{R_1}{R_2} \sin(\alpha_1 + \gamma),$$

或

$$\alpha_2 = \sin^{-1} \frac{R_1}{R_2} \sin(\alpha_1 + \gamma) - \gamma,$$

倘使 $\gamma = 0^\circ$ ，則

$$\sin \alpha_2 = \frac{R_1}{R_2} \sin \alpha_1.$$

棱体成形車刀，可看作半徑为无穷大的圓体車刀，即 $R_1, R_2 \rightarrow \infty$ ；

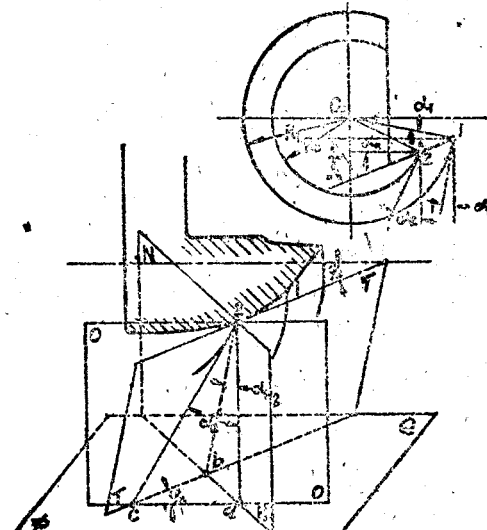


圖14 靜止时沿刀刃角度之变化。

則

$$\lim_{\frac{R_1}{R_2} \rightarrow \infty} \frac{R_1}{R_2} \left(= \frac{R_1}{R_1 - c} \right) = 1,$$

故

$$\sin(\alpha_2 + \gamma) = 1 \times \sin(\alpha_1 + \gamma),$$

即

$$\alpha_2 = \alpha_1.$$

現在再看主截面內角度之關係，在圖 14 之立體圖中，作刀具之基面 QQ 。2 為曲線形刀刃上之任意一點，其在基面上之投影為 a 點，故 $2a \perp QQ$ 面。 OO 為通過 2 點之垂直刀具軸心線之平面； TT 為 2 點後隙面之切面； NN 為 2 點之主截面，垂直於 QQ 面。 TT 面與 OO 面之交線為 $2c$ ， $\angle c 2a = \alpha_2$ 為垂直刀具軸心線面內（走刀方向）的後角。 NN 面與 TT 面交于 $2b$ 線， $2b$ 線在 NN 面內切於後隙面，故 $\angle b 2a = \alpha_{N_2}$ ，即 2 點主截面內之後角。

$\angle bca = \varphi_2$ 角，為 2 點之導角，即 2 點刀刃在基面上投影之切線與走刀方向的夾角。

从

$$\triangle 2ac, \quad ca = 2a \tan \alpha_2;$$

$$\triangle 2ab, \quad ab = 2a \tan \alpha_{N_2};$$

故

$$\frac{ca}{ab} = \frac{\tan \alpha_2}{\tan \alpha_{N_2}}.$$

因

$$\angle cba = 90^\circ, \quad ab = ca \sin \varphi_2,$$

故

$$\tan \alpha_{N_2} = \tan \alpha_2 \sin \varphi_2.$$

α_{N_2} 與 α_1 之關係為： $\tan \alpha_{N_2} = \tan \left[\sin^{-1} \frac{R_1}{R_2} \sin(\alpha_1 + \gamma) - \gamma \right] \sin \varphi_2.$

對棱體車刀來說，因 $\alpha_2 = \alpha_1$ ，故 $\tan \alpha_{N_2} = \tan \alpha_1 \sin \varphi_2.$

§ 4 工作時刀具的前角與後角沿刀刃的變化

普通車刀在工作時，由於進刀量的關係，引起前角及後角有一定之變化。但對成形車刀來說，因走刀量很小，故由於刀具與工件相對運動關係，引起之刀具角度的變化可以不考慮（鏟刀及切線車刀除外）。但成形車刀是一種多刀刀具，在工作時由於本身構造上之特點，會使切削角度發生以下複雜的變化。

(一) 在垂直刀具軸心線（即端面內）之平面內看角度之變化 圖 15 及 16 表示棱體及圓體成形車刀外圓加工成形工件時的情況。刀刃的 1 點在工件中心高度上，由於 γ 角使 2 點低於工件之中心線。1 點之切削平面為鉛直平面，2 點之切削平面則與垂直面成 ψ 角，圖中 ψ 角等於 $\angle 10_2$ 。因此 2 點之前角 γ_2 就比 1 點小。對圓體車刀及棱體車刀來說，二者之變化相同，可用下式表示：

$$\gamma_2 = \gamma_1 - \psi,$$

其中

$$\psi = \gamma_1 - \theta = \gamma_1 - \sin^{-1} \left(\frac{r_1}{r_2} \sin \gamma_1 \right).$$

但後角的變化，棱體車刀與圓體車刀的變化就不相同了，2 點處之後角用下式表示：

$$\text{棱體車刀} \quad \alpha_2 = \alpha_1 + \psi;$$

$$\text{圓體車刀} \quad \alpha_2 = \alpha_1 + \psi + \omega;$$

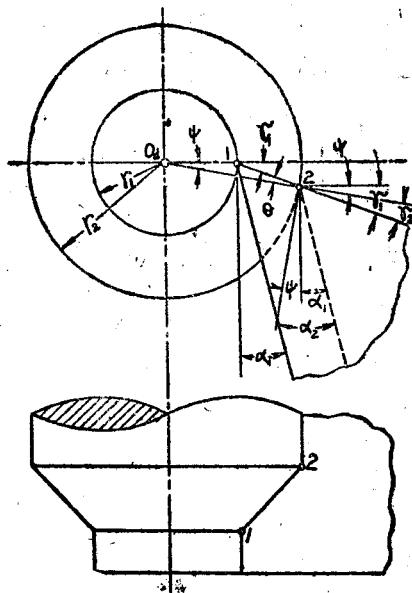


圖15 工作時棱體外圓車刀角度之變化。

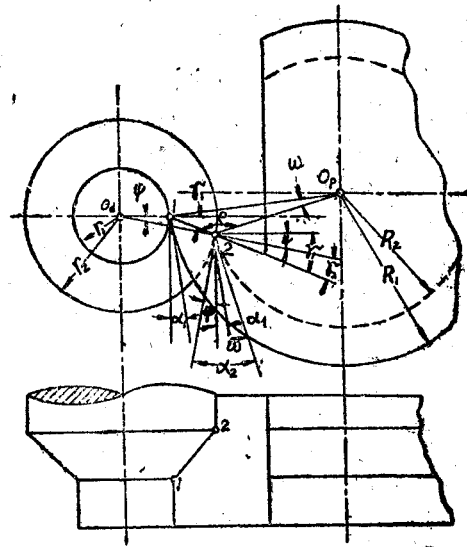


圖16 工作時圓體外圓車刀角度之變化。

其中

$$\omega = 180^\circ - \alpha_1 - \gamma_1 - \rho, \text{ 而 } \rho = \sin^{-1} \left[\frac{R_1}{R_2} \sin(\alpha + \gamma) \right].$$

从以上关系可以看出，在端面内刀具角度变化的主要原因，是由于低于工件中心綫之切削刃，其切削平面与垂直面倾斜成 ψ 角。对圆体车刀来说，因刀刃各点之半径不同，使2点后隙面之切面又产生另一个倾斜的 ω 角。

在内孔圆体车刀加工时，如图17，由于刀具与工件之中心在同一边，低于工件中心之2点，前角就反而增加了， $\gamma_2 = \gamma_1 + \psi$ 。

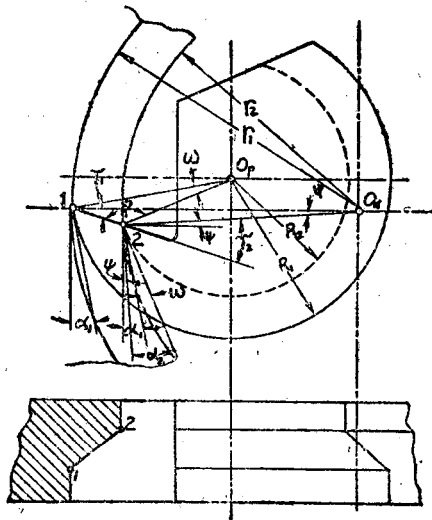


圖17 工作時圓體內圓車刀角度之變化。

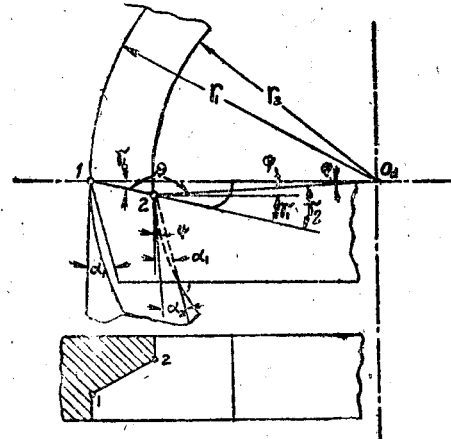


圖18 工作時平體內圓車刀角度之變化。